

1T-TaS₂のX線回折

北海道大学理学部物理学科
丹田 脩 伊土政幸 三本木 哲

1T-TaS₂はその準2次元的フェルミ面の存在により、種々のCDW相転移を引き起す。

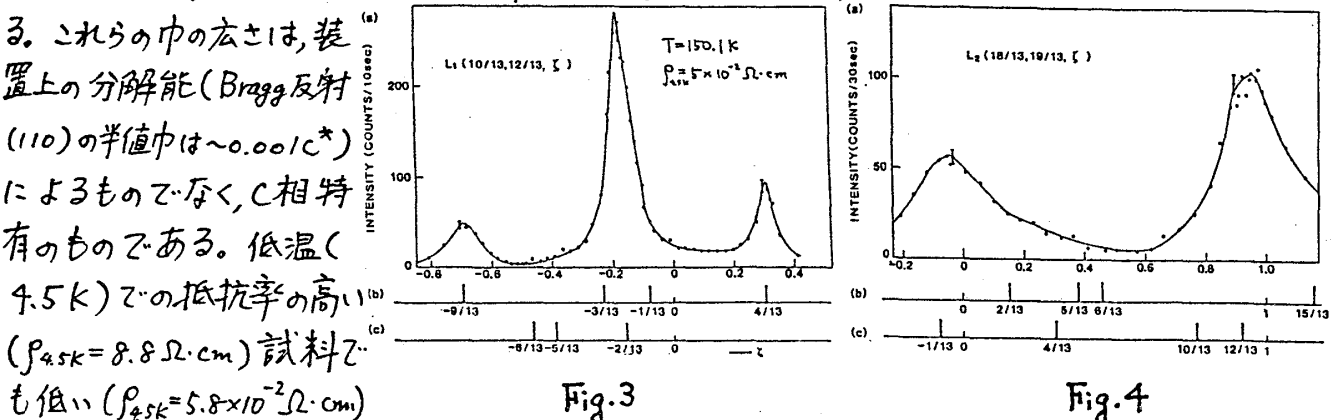
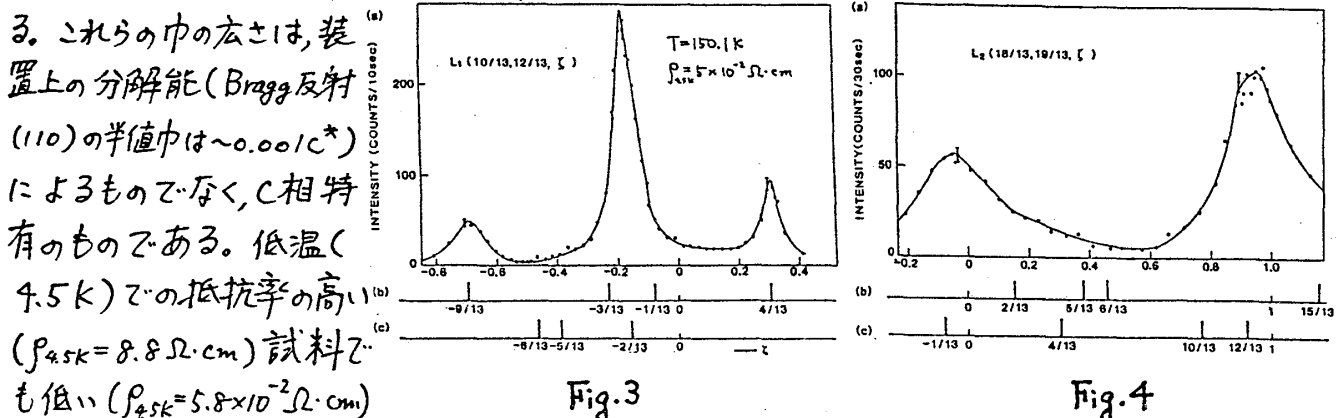
温度を下げるに従って約350KでIncommensurate相よりNearly Commensurate(NC)相へさらに約200KでCommensurate(C)相へ転移することが知られている。最近C相より温度を上げていくと約280Kで抵抗率、ゼーベック係数、C軸方向の弾性係数(Fig.1)、イオンチャネリング等の実験において、ある転移に伴う異常が報告されている。又C相におけるstacking orderに関して、ScrubyらのX線回折による実験では $\bar{a}+\bar{c}$ stackingと報告している。又Fungらはかなりdisorderであると報告している。しかし

まだ具体的なstackingのしかたは明らかになっていない。我々は280Kの異常の原因及びC相のstackingを調べる為に、X線回折の方法を用い、CDWに伴う衛星反射並びに超格子反射の位置を測定した結果を報告する。試料は東大工学部(現電気研)谷俊郎氏のものを使用し、比較のために東大物性研、稻田ルミ子さんのももも使用した。

C相のstacking order

調べた超格子反射はFig.2の L_1 (NC相では1次satelliteに対応する), L_2 (2次satelliteに対応する)の場所である。測定温度は150.1K。Fig.3は L_1 線上を C^* 方向にscanした図である。中の広い2つのpeakが出現する。半値巾は各々~0.1 C^* でpeakの C^* 成分は $(0.310 \pm 0.003)C^*$, $(0.825 \pm 0.003)C^*$ である。後者のIntensityは前者のそれより4倍程度大きい。

この半値巾よりcorrelation length λ_{\perp} を推定すると、 $\lambda_{\perp} \approx 20\text{\AA}$ (格子定数 $c=5.93\text{\AA}$ より約3c)。Fig.4は L_2 線上を C^* 方向にscanした図で、 L_1 上よりもさらに中の広いpeakが $(-0.020 \pm 0.003)C^*$ に出現する。 L_1, L_2 線上すべての箇所にBackgroundより高い強度がある。



試料でもほとんど同じ結果が得られた。以上の結果より、C相のstackingについて考察する。もしScrubyらのいう $\vec{a}+\vec{c}$ stackingならば、 L_1 上にはsharpなspotが $-\frac{3}{13}, -\frac{1}{13}, \frac{4}{13}$ に現れるはずである。又1T-Ta₂Se₂のように $2\vec{a}+\vec{c}$ stackingならば $-\frac{6}{13}, -\frac{5}{13}, -\frac{2}{13}$ に出現するはずである。さらに \vec{c} stackingならばC*成分は0になる。Commensurability条件を満たすstackingは $2\vec{a}+\vec{c}, \vec{a}+\vec{c}, \vec{c}$ しかないのでこれらのorder状態ではない。さらにMonctonらの1T-Ta_{1-x}Zr_xSe₂の中性子回折実験の結果のように、 $2\vec{a}+\vec{c}, \vec{a}+\vec{c}$ の \vec{a} 方向が 120° ずつ離れた3方向にランダムに積み重なるとすれば、 L_1 上に中の広いpeakが $\frac{1}{3}C^*$ に出現するはずである。

1T-Ta₂Se₂のC相のstackingは、かなりのdisorderを伴う $2\vec{a}+\vec{c}, \vec{a}+\vec{c}, \vec{c}$ の複合化したものと考えられる。

<new T相 (220K~280K); on heating>

C相を3時間以上保った後、温度を上げていくと、約220Kで超格子反射は消え、新たにsharpなsatelliteが L_1, L_2 付近各々に3点ずつ出現する。そのsatellitesはNC相のものとは異なる。さらに温度を上げていくと約280Kでこの3点のsatellitesは消えNC相のsatelliteが出現する。この温度上昇時(220K~280K)の間の相をT相と名付ける。280Kでの種々の物理量の異常はこのT相からNC相への転移に対応する。T相の出現は、試料によらず、heating rateにも関係なく、single-phaseである。

Fig.5 Fig.6は温度225Kでの L_1, L_2 付近のT相のsatellitesのC*-scanである。 L_1 付近(1次)の3つのsatellitesのC*成分は $Q_1=0.439C^*, Q_2=0.242C^*, Q_3=0.319C^*$ で $Q_1+Q_2+Q_3=1$ となるので、この3つのsatellitesが所謂トリプル q を形成していることわかる。

L_2 付近(2次)のsatelliteはこのトリプル q の和として考えられ、C*成分も説明できる。1つの場所(例えは L_1 付近)に3つのsatellitesがある理由は、2H-Ta₂Se₂のStripe相のよう、トリプル q がtrigonal symmetryからずれ3つの 120° メイインが存在するからである。トリプル q の面内成分はこの L_1, L_2 の3つのsatellitesとBragg反射(110)の位置より決めた(Fig.7)。点線はC相のトリプル q を表しT相のトリプル q が少しずつずれているのがわかる。このずれ $\delta\vec{Q}_i$ が $\delta\vec{Q}_i \parallel \delta\vec{Q}_j$ ($i=1, 2, 3; i \neq j$)ならStripe相であるが、T相では少し平行条件からはずれている。T相のトリプル q を假て実空間に焼き直しdiscommensuration構造を考えるとFig.8のようなHoneycombとStripeでない形をしたメイイン構造であることがわかった。

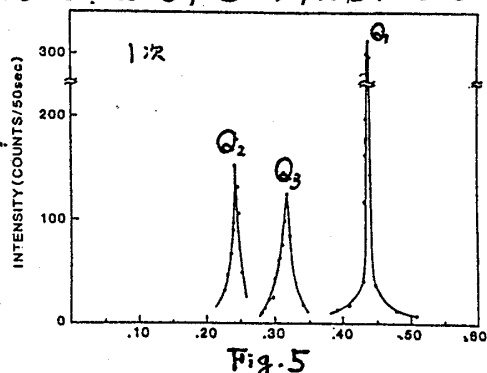


Fig. 5

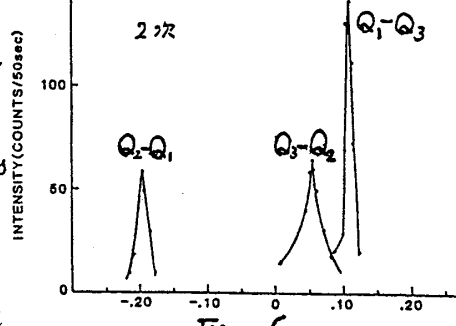


Fig. 6

Triple-Q in T-phase

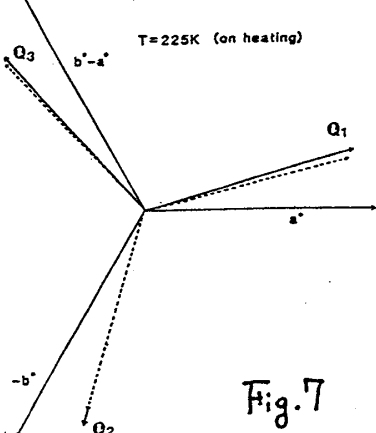


Fig. 7

T相のトリプル q の波数ベクトル $T=225K$	
$\vec{Q}_1 = 0.230a^* + 0.090b^* + 0.439C^*$	
$\vec{Q}_2 = 0.084a^* - 0.332b^* + 0.242C^*$	
$\vec{Q}_3 = -0.314a^* + 0.242b^* + 0.319C^*$	

[Reference] J. phys. Soc. Jap. '84 53 No2

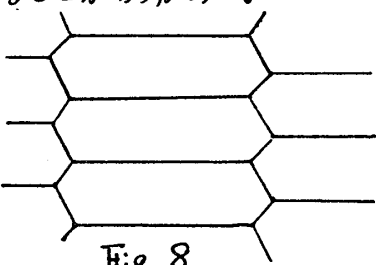


Fig. 8